

برآورد شبکه اکتشافی زغالسنگ با استفاده از عدم قطعیت زمین‌شناختی و تحلیل تأثیر حضور گسل (منطقه پروده III طبس)

امید اصغری^۱، ناصر مدنی اصفهانی^۲

۱- استادیار دانشکده مهندسی معدن، دانشگاه تهران

۲- دانش آموخته کارشناسی ارشد مهندسی اکتشاف معدن، دانشگاه آزاد اسلامی، واحد تهران جنوب

تاریخ دریافت مقاله: ۱۳۹۰/۱/۱۷ تاریخ تصویب: ۱۳۹۰/۶/۱۷

چکیده

روش‌های شبیه‌سازی زمین‌آماری بعنوان یک ابزار قوی برای برآورد توزیع فضایی عدم قطعیت زمین‌شناختی در اکتشاف معدن شناخته شده است. استفاده از این روش در صنعت معدنکاری فلزی به فراوانی متداول و در معدنکاری زغال کم بوده است. کانسار زغالسنگ پروده III طبس در قسمت شرق ایران مرکزی واقع شده و دارای پنج لایه به نام‌های D, C₁, C₂, B₁, B₂، می‌باشد که از این میان لایه C₁ بعلت داشتن ساختمانی ساده، ضخامت متوسط نسبتاً بالا، خاکستر پایین و همچنین ضریب عدم تداوم صفر و داشتن مقام نخست از لحاظ کیفی در قیاس با لایه‌های دیگر بعنوان مهم‌ترین لایه موثر در تحلیل شبکه حفاری انتخاب گردید. بطوری که این لایه به تنهایی می‌تواند منعکس کننده مشخصات کانسار پروده III باشد. در این پژوهش ابتدا به منظور بدست آوردن مدل توزیع ابناشتگی زغال و گسل‌های موجود در منطقه از روش شبیه‌سازی گوسی متواലی (SGS) استفاده شد. سپس مقدار عدم قطعیت زمین‌شناختی ابناشتگی جهت طبقبندی منابع زغالسنگ با استفاده از نقشه خط‌آمد. در ادامه تعداد گمانه‌های بهینه در ناحیه با توجه به سطح اعتماد ۹۵٪ تعیین گردید. از آن جانی که عدم قطعیت زمین‌شناختی گسل تأثیر بسزایی در تخمین منبع زغالسنگ دارد و در مطالعات قبلی تخمین منابع و ذخایر معدنی زغالسنگ نیز نادیده گرفته شده است، این معیار با توجه به نقشه‌های احتمال حضور گسل تعیین گردید و مناطقی که احتمال حضور گسل در آن ها ۱۰۰٪ می‌باشد به علت برخورداری از عدم قطعیت بالا جهت تخمین منبع زغالسنگ، از ناحیه تخمین زده شده جدا گردید. در نهایت این روش به دلیل کارایی بالا می‌تواند در تحلیل‌های مهندسی جهت تخمین منابع و تحلیل شبکه‌های اکتشافی زغالسنگ استفاده شود.

واژگان کلیدی: شبیه‌سازی زمین‌آماری، عدم قطعیت، گسل، تخمین منبع معدنی، پروده III

مقدمه

تولید معدن می‌نماید [10]. گزارش‌هایی که طبق مقررات استاندارد جورک (JORC) نوشته می‌شوند نیازمند تخمین زده شده زغال سنگ به شدت وابسته به تخمین منابع و ذخایر آن است که کمک زیادی به سرمایه گذاران در برنامه‌ریزی‌های اکتشافی، توسعه و

گسل و عدم قطعیت مربوط به آن در تخمین منبع زغالی پروده III طبس پرداخته شده است.

مشخصات منطقه مورد مطالعه

منطقه زغال دار پروده در قسمت شرقی ایران مرکزی در شهرستان طبس از توابع استان یزد قرار گرفته است. منطقه پروده III در محدوده طول جغرافیایی ۵۶-۵۷ درجه تا ۴۴-۴۶ شرقی و عرض جغرافیایی ۳۲-۵۹ تا ۳۲-۴۸ شمالی واقع شده است (شکل ۱). مرز شمالی منطقه پروده III بیرون زدگی لایه های زغالی بطول ۸/۵ کیلومتر با پستی و بلندی نسبتاً آرام است. این منطقه از طرف جنوب پس از ارتفاعات مربوط به سازند آب حاجی و آهک بادامو به دشت هموار رسوبات بغمشه مخصوص می گردد. مرز غربی بوسیله دو گسل از منطقه پروده II و منطقه پروده II جنوبی مشخص می شود و مرز شرقی آن را نیز دو گسل در بر گرفته است [۳].

لایه C1: در (۳۰-۱۸) متری بالای لایه B2 قرار گرفته است. لایه زغالی است با ساختمان ساده و ثابت که با ضخامت متوسط (۰/۹۲) متر، در ردیف لایه های زغالی نازک لایه و با خاکستر متوسط (۱۸/۸٪) جای می گیرد. ضریب عدم تداوم آن صفر بوده و از لحاظ کیفی مقام نخست را دارد.

بنابراین در این مقاله به دلیل اهمیت لایه C1، تجزیه و تحلیل بر روی آن انجام شده است.

بسیار مهم در تخمین، طبقه بندی و ارزیابی های اقتصادی ذخیره نقش بسزایی دارد. همچنین تخمین نادرست از عدم قطعیت زمین شناختی شامل نادیده گرفتن عدم قطعیت حضور گسل نقش مهمی در ارزیابی پروژه های معدن کاری دارد. روش های شبیه سازی زمین آماری به طور گستردگی در چند سال گذشته در تعیین عدم قطعیت زمین شناختی معدن فلزی استفاده گردیده ولی استفاده از آن در صنعت معدن کاری زغال سنگ محدود بوده است [۴, ۱۱]. تعیین عدم قطعیت حضور گسل در لایه های زغالی با استفاده از روش شبیه سازی زمین آماری می تواند در طراحی معدن و تعیین روش استخراج و چگونگی آن کمک کند، لذا می تواند عدم قطعیت معدن کاری زغال را کاهش دهد [۴]. همچنین از این روش ها جهت برآورد محل باز شدن دهانه و رویدی معدن استفاده شده است [۵]. مدل سازی زمین شناختی عدم قطعیت گسل می تواند به عنوان یک عامل کلیدی در طرح توسعه و معدن کاری جبهه کار طولانی (Long wall) معدن زغال بکار رود [۴]. برآورد عدم قطعیت گسل و ارتباط آن با انشاستگی زغال تاثیر بسیار زیادی بر روی میزان زغال برآورد شده می گذارد و به نوعی طراحی توسعه معدن و معدن کاری معدن زغال را تحت شعاع خود قرار می دهد. در یک شبکه حفاری اکتشافی، مناطقی که دارای فاصله داری زیاد گمانه ها از یکدیگر است، محل هایی هستند که ممکن است میزان برآورد تخمینی کمتر از مقدار پیش بینی شده باشد که این مناطق می توانند همان نقاط هدف برای حفاری های جدید باشد. اما عامل مهم دیگر که این مناطق را تحت تأثیر قرار می دهد حضور گسل است که در این مقاله با استفاده از شبیه سازی زمین آماری گوسی متوالی به تجزیه و تحلیل حضور

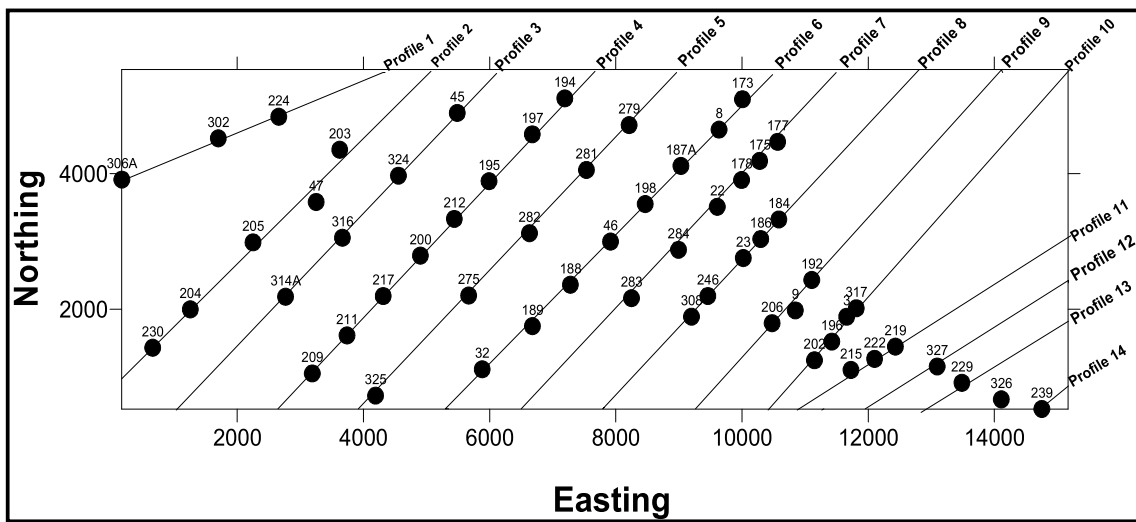


شکل ۱- تصویر ماهواره‌ای معدن پروده III طبس، نقطه A چین خورده کاملاً در شکل مشهود

محل چاههای حفاری بر اساس شبکه اکتشافی پیاده شده تعریف شده بر روی ۱۴ پروفیل عمود بر لایه انتخاب شده است (شکل ۲) [۳]. طراحی شبکه حفاری با توجه مرحله اکتشاف مقدماتی صورت گرفته است.

شبکه حفاری
عملیات حفاری با حفر ۵۸ حلقه گمانه در لایه C₁ منطقه پروده III طبس آغاز شده و کلیه اطلاعات آن ثبت گردیده است.

شرایط حفاری از لحاظ زمین‌شناسی با توجه به شبکه کم طبقات و یکنواخت بودن جنس آن‌ها مشکل خاصی نداشته است و عموماً اعمق پیش‌بینی شده برای لایه‌های زغالی دقیق بوده است. مقدار انحراف چاهها از حالت قائم غالباً کم و یا بدون انحراف بوده است.



شکل ۲- شبکه حفاری پیاده شده، ۱۴ پروفیل به گونه ای طراحی شده است که کل منطقه را پوشش دهد و در بعضی مناطق فاصله گمانه ها از یکدیگر بسیار کم می باشد (مختصات ها محلی هستند)

قطعه مختلف تقسیم نمود که قطعه اول در بخش شمال ناحیه دارای راستای شرقی- غربی بوده و در حاشیه شرقی دشت مثلث شکل طبس توسط گسترهای به پهنای ۱۰ کیلومتر از بازالت های سیاه رنگ کواترنری پوشیده شده است. به نظر می رسد که گسل در آن سوی بازالت ها نیز ادامه داشته است و با یک انحنای ملایم به سمت جنوب به گسل نایندگی پیوندد. گسل رستم یا شمالي تاقدیس های بزرگ ناحیه را برپرده و در راستای آن چشممه های آبگرم تراورتن ساز متعددی بوجود آمده است. بررسی های صحرایی و مطالعات تصاویر ماهواره ای شواهد فراوانی از حرکت های متفاوت در راستای این گسل که نشاندهنده پیچیده بودن تاریخچه فعالیت آن می باشد را نشان داده است. ولی آن چه مسلم است وجود یک مؤلفه حرکت معکوس با راندگی بر روی گسل می باشد که موجب برپایی و فرازگیری ناحیه و نیز تشکیل تاقدیس ها در فرادیواره آن شده است.

بررسی دو بعدی گسل ها

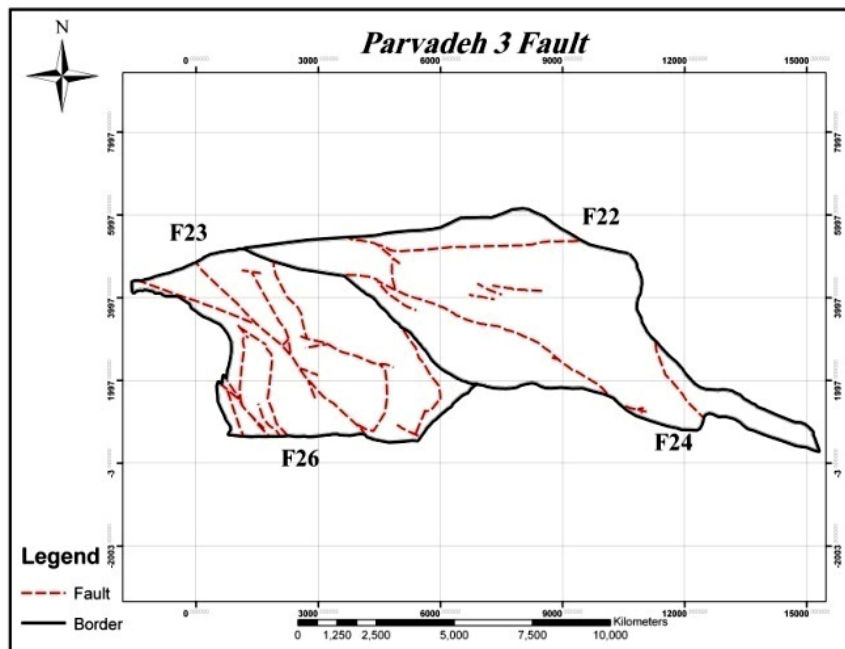
گسل ها در منطقه پرووده III از جمله مهم ترین ساختارهای منطقه می باشد. از نظر امتداد و مکانیسم می توان گسل های ناحیه را به گروه های مختلف تقسیم نمود که برخی از آن ها را بررسی می نمائیم [15]. اصلی ترین و مهم ترین گروه گسل ها در ناحیه که نقش اساس در تکامل ساختاری پرووده و پیدایش رخنمون های زغال سنگی داشته اند دارای راستای شرقی - غربی بوده و بصورت تقریباً موازی تا بخش های جنوبی ناحیه نیز دیده می شوند. از مهم ترین این گسل ها به ترتیب از شمال به جنوب می توان گسل رستم (گسل چشممه رستم یا گسل چشممه نیز نامیده می شود)، گسل زنوغان، گسل قوری چای، گسل تخت نادر و گسل قدیر را نام برد. گسل رستم با طول نزدیک به ۱۸۰ کیلومتر مرز شمالي ناحیه زغال دار پرووده را از دشت آبرفتی طبس مشخص می نماید. از نظر روند می توان این گسل را به دو

شرق-جنوب غرب و حرکت راستگرد و راستای شمال غرب-جنوب شرق با حرکت چپ گرد (بصورت مزدوج با زاویه حدود ۵۷ درجه) و نیز گسل های نرمال شرقی-غربی شده است. این سیستم تنش موجب ایجاد چینهای با راستای شمالی-جنوبی در ناحیه پروده و نیز گسل های راندگی با امتداد جنوبی و در برخی نواحی بویژه بخش های غربی قوری چای شده است. سیستم تنش جدید با راستای N15-20E سبب ایجاد و توسعه گسلهای اصلی ناحیه با امتداد شرقی-غربی (با حرکت معکوس و چپگرد) شده است. این راستای تنش در حال حاضر نیز فعال بوده و تحلیل دینامیکی زمین لرزه سال ۱۳۵۷ طبس گلشن و پس لرزه های آن نیز عملکرد و فعالیت آن ها را نشان داده است. لازم به ذکر است سیستم تنش موجود در ناحیه مطابق با الگوی تنش در سایر نواحی شرقی ایران مرکزی است [14].

خصوصیات نشان داده شده در مورد گسل زنوغان و قوری چای نیز مشاهده می شود.

به طور کلی می توان حرکت امتداد لغز راستگرد (قدیمی) و امتداد چپ لغز (جدید) همراه با مؤلفه معکوس برای این گروه از گسل ها شناسایی نمود. دو گروه از گسل های امتداد لغز با روندها و حرکات متفاوت نیز قابل شناسایی هستند.

گروه اول با داشتن امتداد شمال شرق-جنوب غرب حرکت امتداد لغز راستگرد (F23, F26) و گروه دوم با امتداد شمال غرب-جنوب شرق حرکت امتداد لغز چپگرد را نشان می دهند (F22, F24). از نظر فراوانی گروه اول دارای اهمیت بیشتری در منطقه می باشد. تحلیل دینامیکی گسل ها، ایجاد و توسعه آن ها در دو سیستم تنش متفاوت نشان می دهند. سیستم تنش قدیمی با راستای کم و بیش شرقی-غربی موجب ایجاد دو گروه گسل امتداد لغز با راستای شمال

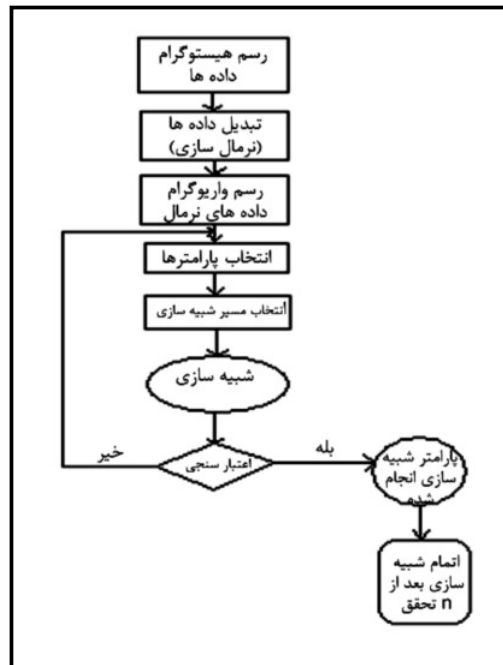


شکل ۳- نقشه گسل های منطقه پروده III طبس، در قسمت های غربی تمرکز مناطق گسله زیادتر بوده است که راستای تقریبی شمال غربی-جنوب شرقی به منطقه داده است

الگوریتمی برای تعدیل اثر هموارسازی چنین روش هایی در نظر گرفته می شود، زیرا روش های تخمینی مبتنی بر میانگین متحرک به طور غیر واقع بیانه ای نوسانات را هموار می کند.

از میان روش های شبیه سازی، روش شبیه سازی شرطی علاوه بر حفظ واریوگرام داده های واقعی (تحقیق یافته)، محل نقاط اندازه گیری شده در فضای را نیز حفظ می کند در حالیکه شبیه سازی غیر شرطی قادر به حفظ نقاط نمونه برداری شده نمی باشد [۲].

در تمام روش های شبیه سازی گوسی فرض بر نرمال بودن داده های اولیه به عنوان اصل اساسی است. به عبارت دیگر، جامعه داده ها باید قابل تبدیل به نرمال استاندارد باشند. الگوریتم شبیه سازی به صورت زیر است که نمودار آن را می توان در شکل ۴ مشاهده کرد.



شکل ۴- الگوریتم شبیه سازی گوسی متوالی [۲]

مدل سازی زمین آماری

واریوگرام ابزاری است که همبستگی فضایی بین داده ها را نشان می دهد و پایه ای جهت بررسی های زمین آماری است. در واقع واریوگرام، همبستگی فضایی یک متغیر را توسط تابعی از فاصله بین دو نقطه نشان می دهد [۱].

انباشتگی زغال حاصلضرب دو پارامتر ضخامت در درصد زغالخیزی است که برای کانسارهای با هندسه صفحه ای مانند زغال جهت تخمین منابع آن بسیار کاربرد دارد [۱].

شبیه سازی زمین آماری شرطی مجموعه ای از مقادیر را مطابق معیارهای زیر تولید می کند [۹]:

۱- این روش مقادیر واقعی را در کلیه نقاط برداشت شده حفظ می کند.

۲- تصاویر تولید شده دارای توزیع فضایی مشابهی نسبت به مقادیر اولیه نظری واریوگرام ها هستند.

۳- تصاویر تولید شده دارای توزیع مشابهی نسبت به مقادیر اولیه نظری هیستوگرام ها هستند.

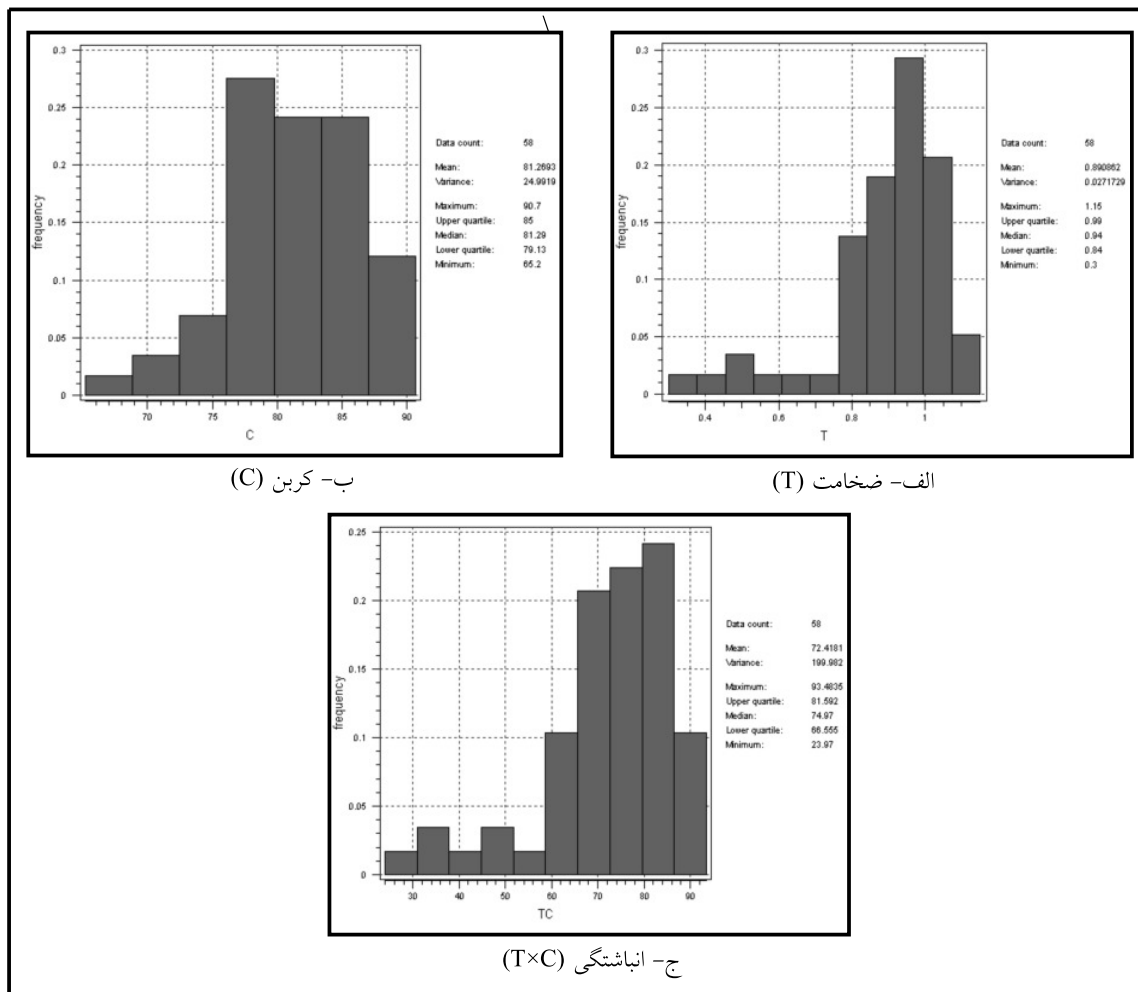
مجموعه ای از مقادیری که مطابق با معیارهای ذکر شده در بالا باشد شبیه سازی شرطی نامیده می شود.

در این مقاله به منظور بررسی همبستگی فضایی بین داده های انباشتگی زغال و گسل موجود در منطقه، از روش شبیه سازی شرطی گوسی استفاده شده است. به عبارت دیگر مقدار انباشتگی زغال و گسل در یک نقطه با مقدارش در یک نقطه دیگر از طریق شبیه سازی گوسی مرتبط گردیده است. شبیه سازی زمین آماری روشی است که تصویری واقعی از تغییرپذیری فضایی را برای متغیر مورد نظر تولید می کند. همچنین در روش های شرطی برخلاف همه روش های تخمین مبتنی بر میانگین متحرک، به عنوان

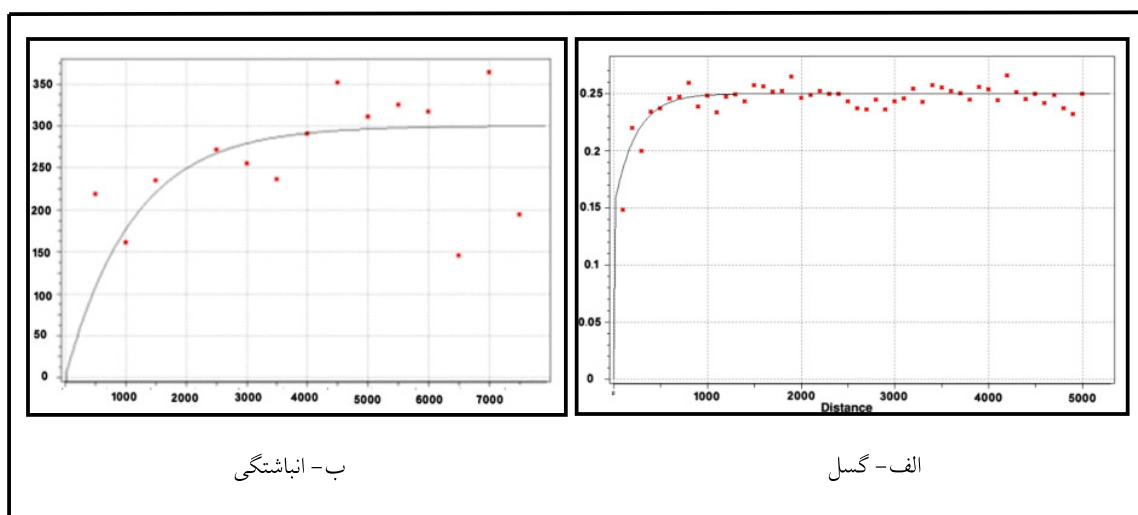
با توجه به نتایج بدست آمده از مدل‌های واریوگرام‌های جهتی مشخص شد که محدوده مورد مطالعه برای متغیر انباشتگی و گسل به سبب تفاوت در دامنه تأثیر واریوگرام در جهات مختلف دارای ناهمسان گردی است. نکته جالب توجه این که گسل‌های منطقه در راستای ۱۳۵ درجه دارای بیشترین دامنه تأثیر بوده و این موضوع راستای اصلی شمال شرقی-جنوب غربی بودن گسل‌های منطقه پروده III طبس را نیز مشخص می‌نماید. نتایج در مدل‌های ۱ و ۲ آورده شده است.

شبیه‌سازی زمین‌آماری مقدار انباشتگی زغال و گسل با توجه به این که داده‌های حاصل متعلق به طول متفاوتی از مغزه‌ها بوده، لازم است تا این طول‌ها مساوی شده و دارای ارزش طولی یکسان شوند (ایجاد فضای هم-احتمال)، بنابراین برای بردن آن به فضای هم احتمال مقدار متغیر کربن در ضخامت ضرب شده است و مقدار انباشتگی به دست آمد. بررسی‌های آماری انجام شده بر روی این داده‌ها نشان دادند که توزیع انباشتگی زغال در این کانسار غیر نرمال با چولگی منفی بوده است. شکل ۵ هیستوگرام فراوانی مقادیر خام انباشتگی زغال را نشان می‌دهد.

در مورد گسل نیز ابتدا گسل‌های منطقه با استفاده از برداشت‌های زمین‌شناسی ثبت گردید، سپس نقشه حاصله مورد بررسی قرار گرفت. به این ترتیب که مناطق حضور گسل ارزش گذاری گردید. مناطقی که گسل حضور دارد ارزش ۱ و مناطقی که فاقد گسل می‌باشند ارزش صفر داده شد، برای گسل نیز کلیه محاسبات زمین‌آماری و شبیه‌سازی روی آن انجام گرفت تا بتوان تأثیر آن را در تخمین منع معدنی زغال مورد تجزیه و تحلیل قرار داد. در این قسمت به منظور بررسی ساختار فضایی متغیر انباشتگی زغال کانسار پروده III طبس و آگاهی از میزان تداوم زغال خیزی و همسان گرد و یا ناهمسان گرد بودن منطقه، و هم چنین بررسی ساختار منطقه‌ای گسل‌ها و تعیین امتداد اصلی گسل‌ها، واریوگرام‌های کلی و جهتی در امتدادهای مختلف مورد بررسی قرار گرفتند. واریوگرام غیر جهتی انباشتگی و گسل در شکل‌های ۶ و ۷ آمده است.



شکل ۵- هیستوگرام فراوانی مقادیر خام انباشتگی، ضخامت، کربن زغال. این هیستوگرام دارای چولگی منفی بوده که در کانسارهای زغالسنگ با درجه زغال خیزی بالا امری بدیهی است



شکل ۶- واریوگرام غیر جهتی گسل و انباشتگی همراه با مدل برآش شده کروی

برآورد شبکه اکتشافی زغالسنگ با استفاده از عدم قطعیت زمین‌شناختی....

مدل ۲- مدل های واریوگرام منطبق بر واریوگرام های
امتداد های اصلی بیضی ناهمسانگردی متغیر انباشتگی

امتداد ۴۵ درجه:

$$\gamma(h) = 0.1 \left(\frac{3h}{2 \times 2700} - \frac{h^3}{2(2700)^3} \right) + 0.15 \quad h \leq 2700$$

$$\gamma(h) = 0.85 + 0.1 \quad h > 2700$$

مدل ۱- مدل های واریوگرام منطبق بر واریوگرام های
امتداد های اصلی بیضی ناهمسانگردی گسل

امتداد ۳۰ درجه:

$$\gamma(h) = 0.1 \left(\frac{3h}{200} - \frac{h^3}{2(100)^3} \right) + 0.15 \quad h \leq 100$$

$$\gamma(h) = 0.1 + 0.15 \quad h > 100$$

امتداد ۱۳۵ درجه:

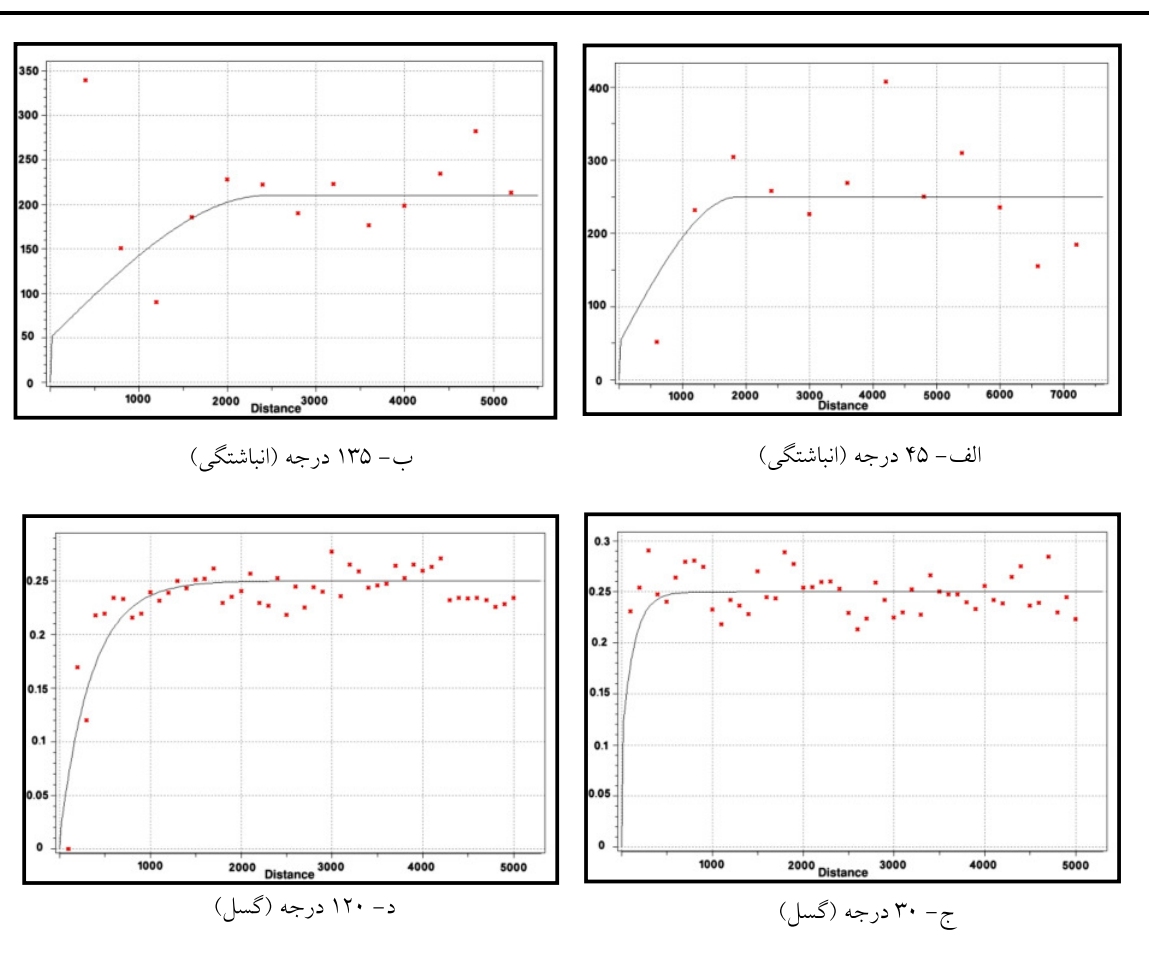
$$\gamma(h) = 0.8 \left(\frac{3h}{2 \times 2300} - \frac{h^3}{2(2300)^3} \right) + 0.1 \quad h \leq 2300$$

$$\gamma(h) = 0.8 + 0.1 \quad h > 2300$$

امتداد ۱۲۰ درجه:

$$\gamma(h) = 0.24 \left(\frac{3h}{2 \times 1050} - \frac{h^3}{2(1050)^3} \right) + 0.01 \quad h \leq 1050$$

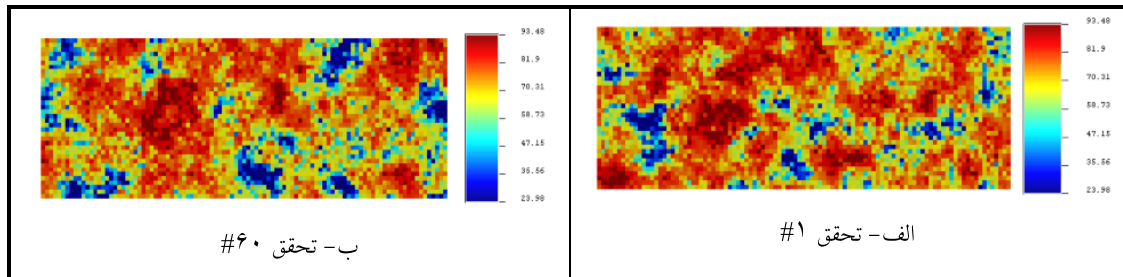
$$\gamma(h) = 0.24 + 0.01 \quad h > 1050$$



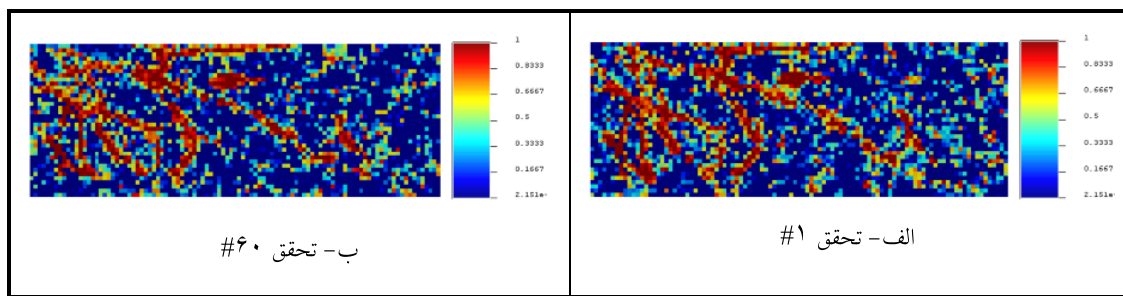
شکل ۷- واریوگرام های جهتی در امتدادهای ناهمسانگردی

محدوده فضای تخمين بدست آمده است. در واقع پس از انجام عملیات شبیه‌سازی برای هر بلوک ۱۰۰ مقدار تخمينی بدست آورده شد، بر خلاف روش‌های قطعیت‌پذیر، روش شبیه‌سازی زمین‌آماری این قابلیت را به کاربر می‌دهد تا مدل‌های احتمال پذیر جامع‌تری از توزیع مربوطه در کانسار را ایجاد نماید (شکل‌های ۹ و ۱۰).

از آن جا که الگوریتم شبیه‌سازی گوسی قابلیت ایجاد نتایج مختلف را دارد، به منظور بررسی میزان تغییرپذیری در منطقه مورد مطالعه توسط نرم‌افزار SGeMS، با توجه به اینکه میانگین فاصله گمانه‌ها از یکدیگر ۵۰۰ تا ۶۰۰ متر است لذا ۱۰۰ نتیجه مختلف از وضعیت مقدار انباشتگی و گسل در نقاط مختلف کانسار برای هر بلوک 150×150 متر مربعی در



شکل ۸- نتایج شبیه‌سازی از بالا به پائین مربوط به تحقیقات ۱ و ۶۰ برای انباشتگی، شبیه‌سازی بلوک‌ها بر اساس مدل واریوگرام است



شکل ۹- نتایج شبیه‌سازی از بالا به پائین مربوط به تحقیقات ۱ و ۶۰ برای گسل، نتایج شبیه‌سازی به خوبی گسل‌ها را باز تولید نموده اند

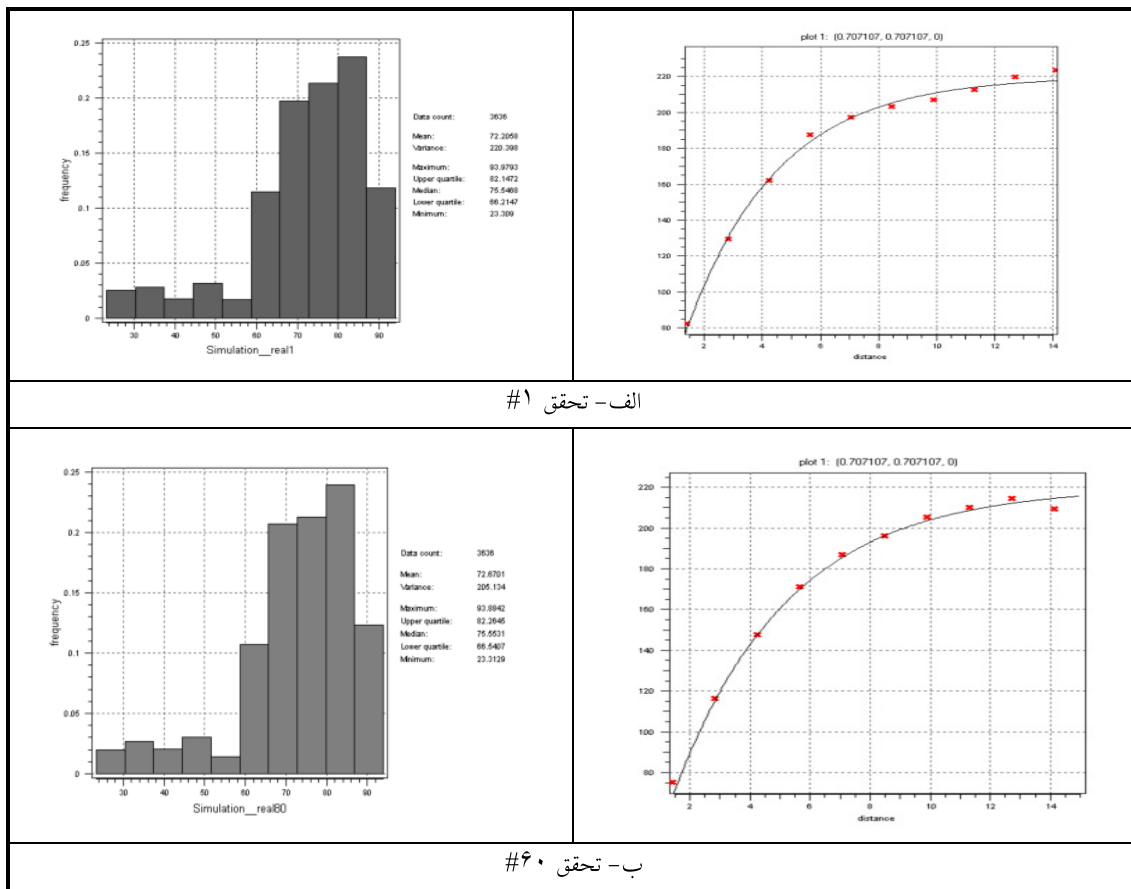
(مدل ۳). مقایسه واریوگرام‌های تحقیقات با مدل برآش شده به داده‌های اولیه نشان می‌دهد که تحقیقات به خوبی قادر به تولید مجدد پارامترهای زمین‌آماری منطقه بوده و دارای اعتبار می‌باشند (شکل‌های ۱۱ و ۱۲ و جدول ۱). چرا که تغییرات هر یک از اعداد سقف، اثر قطعه‌ای و دامنه تاثیر کمتر از ۱۰٪ بدست آمده است. لذا تمامی آن‌ها معتبر بوده و می‌توان از آن‌ها در تحلیل‌های بعدی استفاده نمود.

اعتبارسنجی نتایج شبیه‌سازی

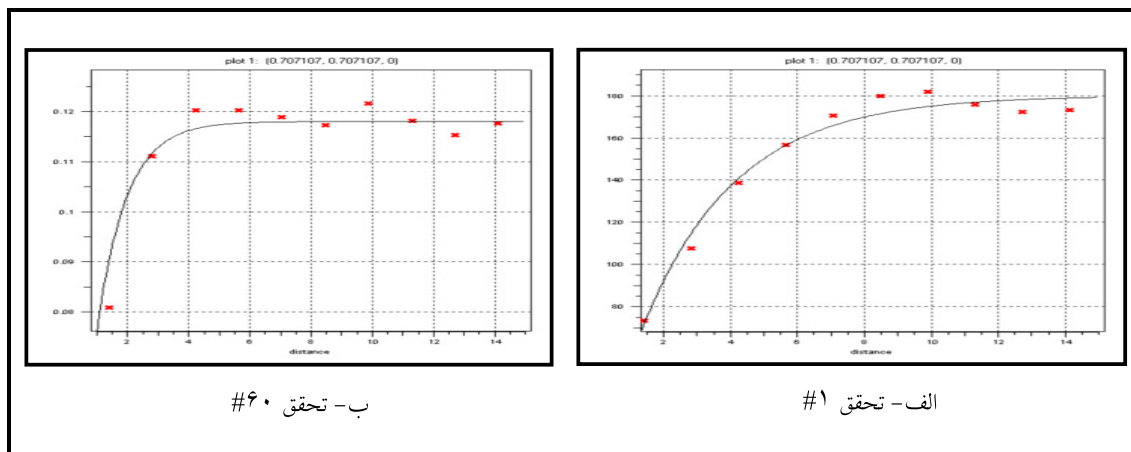
نتایج شبیه‌سازی زمانی قابل قبول هستند که بتوانند شباهت معین جامعه (هیستوگرام و واریوگرام) را دوباره تولید کنند، لذا هیستوگرام‌ها و واریوگرام‌های ۱۰۰ حالت تحقق یافته محاسبه شدند که در این جا هیستوگرام تحقیقات ۱ و ۶۰ مربوط به انباشتگی آورده شده است (شکل ۱۱).

همان طور که مشاهده می‌شود تحقیقات قادر به بازسازی هیستوگرام‌های اصلی کانسار بوده‌اند

برآورد شبکه اکتشافی زغالسنگ با استفاده از عدم قطعیت زمین‌شناختی....



شکل ۱۰- هیستوگرامها و واریوگرام‌های تحقیقاتی ۱ و ۶۰ انباشتگی از بالا به پائین که به خوبی قادر به تولید هیستوگرام و واریوگرام اولیه بوده‌اند



شکل ۱۱- واریوگرام تحقیقاتی ۱ و ۶۰ گسل، واریوگرام اولیه را به خوبی تولید نموده است

می تواند رسم و یک برآورد کلی از منطقه حاصل نماید [۱]. لذا این نقشه با میانگین گیری بین ۱۰۰ تحقق حاصل شده است که بسیار شبیه نقشه حاصل از کریجینگ می باشد. در شکل ۱۳ و ۱۴ نقشه E-TYPE مربوط به مقادیر انباشتگی و گسل آورده شده است.

مدل ۳: مقایسه واریوگرام های تحقیقاتی ۱، ۲۰، ۴۰ و ۶۰ و مقادیر انباشتگی اولیه، تغییرات کمتر از ۱۰٪ می باشد.

تحقیق ۱:

$$\gamma(h) = 0.75 \left(\frac{3h}{2 \times 1200} - \frac{h^3}{2(1200)^3} \right) + 0.05 \quad h \leq 1200$$

$$\gamma(h) = 0.75 + 0.05 \quad h > 1200$$

جدول ۱- مقایسه هیستوگرام های تحقیقاتی ۱ و ۶۰ و مقادیر انباشتگی اولیه، تغییرات کمتر از ۱۰٪ می باشد

واریانس	میانگین	هیستوگرام
۲۲۰/۲۰۹	۷۲/۲	تحقیق ۱
۱۹۹/۹۸	۷۳/۰۱	تحقیق ۶۰
۱۹۴/۱۶	۷۲/۴۱	متغیر انباشتگی

تحقیق ۶۰

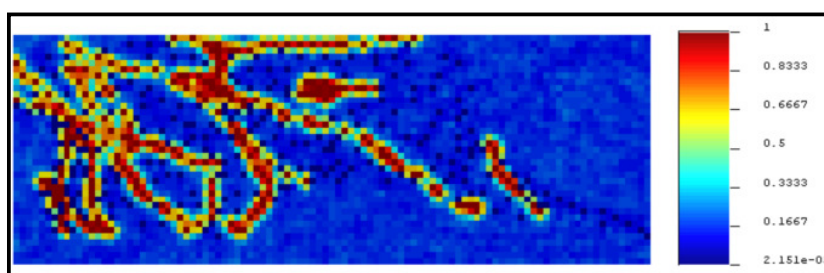
$$\gamma(h) = 0.95 \left(\frac{3h}{2 \times 1150} - \frac{h^3}{2(1150)^3} \right) + 0.05 \quad h \leq 1150$$

متغیر انباشتگی اولیه:

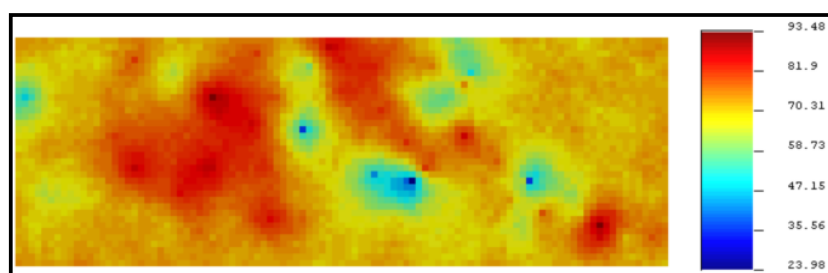
$$\gamma(h) = 0.87 \left(\frac{3h}{2 \times 1300} - \frac{h^3}{2(1300)^3} \right) + 0.01 \quad h \leq 1300$$

$$\gamma(h) = 0.87 + 0.01 \quad h > 1300$$

پس از بدست آوردن تحقیقا و اعتبارسنجی نتایج آن ها برای اینکه بتوان روی یک نقشه بجای ۱۰۰ نقشه عملیات شبیه سازی را انجام داد، و از آنجائی که نقشه E-TYPE (میانگین) بعنوان یک نقشه میانگین



شکل ۱۲- نقشه E-TYPE مربوط به ۱۰۰ حالت شبیه سازی شده برای گسل، نقشه حاصل محل گسل ها را به خوبی نمایان می کند



شکل ۱۳- نقشه E-TYPE مربوط به ۱۰۰ حالت شبیه سازی شده برای انباشتگی، مناطقی که دارای انباشتگی بالا می باشند با رنگ قرمز نشان داده شده است

شده در مرحله ۳ و مقایسه آن با نهشته شبیه‌سازی شده در مرحله ۲ خطای نسبی بلوک Z به طریق زیر محاسبه می‌گردد:

$$\varepsilon_{ij} = \frac{|V_{sij} - V_{ej}|}{V_{sij}} \quad (i=1\dots n; j=1\dots m)$$

ε_{ij} : خطای نسبی بلوک Z با بلوک متناظر شبیه‌سازی شده i

V_{sij} : مقدار بلوک شبیه‌سازی شده i از بلوک j
 V_{ej} : مقدار تخمینی بلوک Z با استفاده از روش های متدالوی مثل کریجینگ
 n : تعداد کلی نهشته های شبیه‌سازی شده
 m : تعداد بلوک ها در کل منطقه مورد مطالعه محاسبه کلیه مراحل بالا را برای همه حالت های شبیه‌سازی شده (۱۰۰ تحقق).

تخمین منع معدنی زغال بر اساس استاندارد جورک با نگرش ویژه بر معیار عدم قطعیت گسل

گزارشاتی که بر اساس استاندارد جورک نوشته می‌شود نیاز به سطح اعتماد زمین‌شناختی دارد که عدم قطعیت زمین‌شناختی نامیده می‌شود.

شرکت ها و افراد ذی صلاحیت نیاز دارند تا اطمینان حاصل کنند که محاسبات منع معدنی و طبقه‌بندی آن ها منطبق با مقررات کد جورک از لحاظ شفافیت، مواد و کیفیت است [4,11]. روش های سنتی طبقه‌بندی منبع معدنی از معیار موضوعی (Subjective Criteria) برای تعیین محدوده های منع معدنی استفاده می‌نمایند [4]. چگونگی استفاده از روش شبیه‌سازی زمین‌آماری به منظور محاسبه خطای درگیر در سطح اعتماد مورد نظر در تخمین منع معدنی در ادامه آورده شده است.

برآورد عدم قطعیت جهت برآورد انباشتگی زغال
در این مقاله از روش ارائه شده در بالا جهت تخمین خطای نسبی استفاده گردید بدین منظور مقدار انباشتگی زغال شبیه‌سازی شده و نقشه E-TYPE آن نیز طبق شکل ۱۰ تهیه گردید و یک نقشه کریجینگ حاصل و مقدار خطای نسبی با استفاده از فرمول ۱ محاسبه گردید (شکل ۱۵). این شکل توزیع فضایی خطای نسبی همراه با مدل زغال تخمین زده شده با استفاده از روش کریجینگ را نشان می‌دهد. لازم به ذکر است که سطح اطمینان برای خطای نسبی ارائه شده ۹۵٪ است که بالاترین سطح اعتماد در صنعت معدن کاری است. خطای نسبی محاسبه گردیده علاوه بر انعکاس فاصله داری گمانه‌ها از یکدیگر، مقدار تغییرپذیری بر جای زغال را نیز نشان می‌دهد. برای مثال در شکل ۱۵، مقدار خطای نسبی در قسمت‌های قرمزنگ بالا است. اما در قسمت‌های سبز رنگ این مقدار کمتر از ۵٪ بوده

برآورد عدم قطعیت زمین‌شناختی با استفاده از روش‌های مرسوم

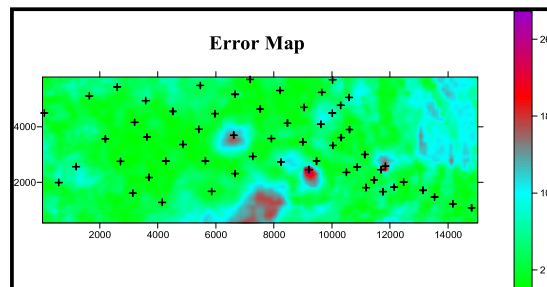
روش ارائه شده برای برآورد ریسک از روش شبیه‌سازی زمین‌آماری به منظور تولید چندین مدل منع معدنی زغال با استفاده از کلیه داده‌های گمانه‌ها استفاده می‌کند. روش کار به این ترتیب است [12]:

تولید یک مدل نهشته ای از زغال با کیفیت بالا (نهشته واقعی) با استفاده از روش شبیه‌سازی زمین‌آماری بر اساس اطلاعات زمین‌شناختی بلوک سازی مجدد نقاط در مدل نهشته زغال شبیه‌سازی شده برای بلوک بندی با سایز مشابه استفاده شده در مدل لایه ای تخمین زده شده استفاده از یک روش مرسوم مانند کریجینگ جهت تولید یک مدل از لایه ای زغالی تخمین زده شده بر اساس داده‌های اکتشافی لایه زغال در اندازه بلوک مورد نظر محاسبه خطای نسبی هر بلوک در نهشته تخمین زده

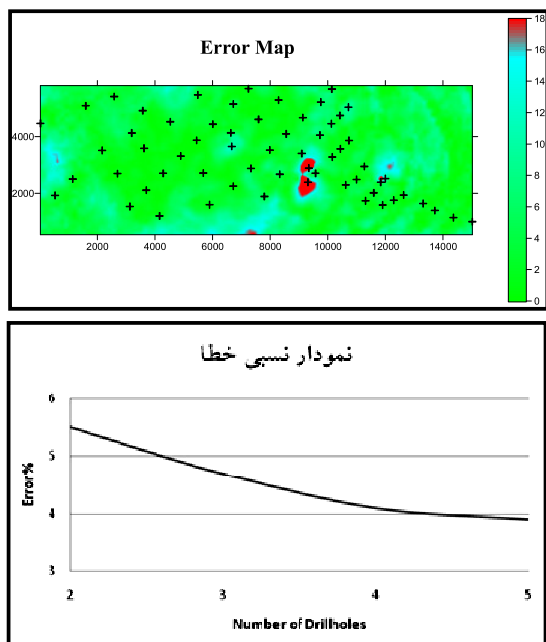
شبکه حفاری تخمین منبع زغالی بر اساس منبع زغالی اندازه گیری شده می‌باشد. همان طور که در شکل ۱۶ دیده می‌شود با افزایش تعداد ۳ گمانه به محدوده های مورد نظر تقاطعی که دارای منبع زغالی کمتر از رده اندازه گیری شده بودند دارای رده اندازه گیری شدند چون تخمین منبع زغالی اندازه گیری شده مورد نیاز می‌باشد و میانگین خطای در این مرحله باید کمتر از ۵٪ باشد [۱۲]، پس می‌توان با همان تعداد ۳ گمانه به منبع زغالی مورد نظر در کل منطقه دست یافت و نیازی به حفر ۴ گمانه و یا ۵ گمانه نمی‌باشد.

که به دلیل تراکم گمانه‌ها تغییرپذیری کم متغیر انباستگی را به شدت نشان می‌دهد.

بر این اساس این نواحی، نیاز حفاری اکتسافی بیشتری دارد یعنی در ناحیه قرمز رنگ نشان داده شده تمرکز گمانه‌های پیشنهادی باید بیشتر باشند.



شکل ۱۴- نقشه خطای نسبی جهت تخمین منبع زغالسنگ، مناطق قرمز رنگ دارای رده پایین تر از رده اندازه گیری شده می‌باشند



شکل ۱۵- نقشه خطای نسبی (سمت چپ) و نمودار خطای (سمت راست)، خطای انباستگی همراه با تعداد گمانه‌های مختلف

توسعه مدل برای بهینه سازی فاصله گمانه ها

روش بیان شده در بالا نیز می‌تواند جهت بهینه سازی فاصله گمانه‌ها از یکدیگر استفاده شود.

همان طور که در شکل ۱۱ دیده می‌شود در نقاط قرمز رنگ میانگین خطای نسبی بالا است بنابراین جهت طبقه‌بندی منبع زغالی مورد نظر اندازه گیری شده، نیاز به حفر چندین گمانه می‌باشد.

روش کار به این ترتیب است که الگوهای حفاری مختلفی طراحی و کلیه نهشته‌های شبیه‌سازی شده قبلی مورد نمونه برداری فرضی قرار گرفتند.

نمونه‌های فرضی برداشت شده سپس به دیتاها اولیه اصلی اضافه شدند و دوباره مراحل ۱ تا ۵ برای آن‌ها تکرار گردید.

سپس خطای نسبی در مرحله (۲ چاه، ۳ چاه و ۴ چاه و ۵ چاه) محاسبه گردید. در این مقاله هدف از طراحی

نتیجه گیری

همان طور که ملاحظه گردید، روش شبیه‌سازی زمین‌آماری می‌تواند در برآورد عدم قطعیت زمین‌شناختی جهت تخمین منبع زغالسنگ، تعیین تعداد بهینه گمانه‌ها و ارزیابی ریسک گسل به عنوان یک روش قوی و قابل اعتماد به کار گرفته شود. تعیین عدم قطعیت در میزان انباشتگی زغال و ارزیابی ریسک آن می‌تواند به شرکت‌های معدنکاری و اشخاصی که به نوعی با طبقه‌بندی منبع زغالسنگ در ارتباط هستند کمک شایانی نماید. به علاوه اینکه ریسک زمین‌شناختی محاسبه شده می‌تواند تعداد بهینه گمانه‌ها را جهت رساندن شبکه به منبع زغالی مورد نظر با توجه به سطح اعتماد بالا ۹۵٪ که پرکاربردترین سطح اعتماد در محاسبات زمین‌آماری است را مشخص نماید.

روش شبیه‌سازی زمین‌آماری ارائه شده می‌تواند به عنوان یک روش شفاف جهت طبقه‌بندی منبع زغالسنگ و تعیین تعداد نقاط بهینه گمانه‌ها با سطح اعتماد بالا بکار گرفته شود.

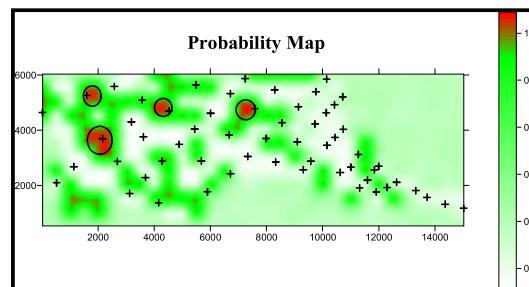
دومین کاربرد روش ارائه شده جهت برآورد ریسک زمین‌شناختی گسل در منطقه توансست با استفاده از نقشه‌های احتمال مناطق با ریسک و خطرپذیری بالا را مشخص نماید. برآورد ریسک گسل می‌تواند به تخمین منبع زغالی کمک کند و آن را تحت شعاع خود قرار دهد.

تقدیر و تشکر

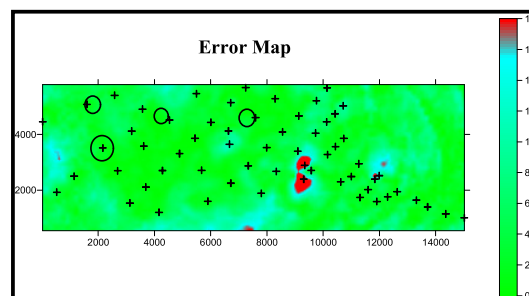
در پایان برخود لازم می‌دانیم از شرکت تهیه و تولید مواد معدنی ایران و شرکت زغالسنگ و معدن پروده طبس و جناب آقایان مهندس کریمی و محمدی تشکر و قدردانی نمائیم.

برآورد عدم قطعیت گسل و اثر آن روی طبقه‌بندی منع زغالی مورد نظر

همان طور که در بخش قبل دیده شد، چنانچه ۳ گمانه به کل شبکه اضافه گردد، کل منبع زغالی در محدوده فضای تخمین در حد منبع زغالی اندازه‌گیری شده طبقه‌بندی می‌شود. ریسک گسل از مواردی است که حضور آن را نمی‌توان نادیده گرفت. بنابراین وجود آن روی طبقه‌بندی منبع زغالی تأثیر می‌گذارد. به همین منظور گسل شبیه‌سازی شده شکل ۱۰ مورد تجزیه و تحلیل قرار گرفت. همان طور که در شکل دیده می‌شود با حفر ۳ گمانه پیشنهادی کل منطقه دارای منبع معدنی اندازه گیری شده می‌شود. (با توجه به خطای کمتر از ۲۰٪) [12]. به هرحال، نواحی قرمز رنگ به دلیل برخورداری از احتمال ۱۰۰٪ باید کاملاً از نواحی اندازه گیری شده جدا گردد [6,7,12] از نواحی اندازه گیری شده جدا گردد [12] (شکل ۱۷ و ۱۸).



شکل ۱۶- نقشه احتمال گسل (نقاط قرمز رنگ دارای احتمال ۱۰۰٪ می‌باشد)



شکل ۱۷- نقشه خطای انباشتگی زغال

منابع

- Ore Reserves (The Australasian Institute of Mining and Metallurgy, Melbourne)
- 11-Li S., Dimitrakopoulos R, Scott J and DDunn. (2004); Quantification of Geological Uncertainty and Risk Using Stochastic Simulation and Applications in the Coal Mining Industry, Ore body Modeling and Strategic Mine Planning, 14, pp 253-260.
- 12-Shuxing, LI., Dimitrakopoulos, R. (2002); Quantification and assessment of fault uncertainty and risk using stochastic conditional simulations. JOURNAL OF COAL SCIENCE & ENGINEERING. 8, pp 1-11.
- 13-Berberian M and King G G (1981); Towards a paleogeography and tectonic evaluation of Iran. Cn. J, Earth sci. 18 pp 165-210.
- 1- حسنی پاک، ع، شرف الدین، م، (۱۳۸۴)، تحلیل داده‌های اکتشافی، انتشارات دانشگاه تهران، ۹۸۷ ص.
- 2- مدنی اصفهانی، ن، (۱۳۸۹)، مدلسازی توزیع زغال در کاسار پروده III طبیع و تحلیل شبکه اکتشافی با استفاده از روش شبیه‌سازی زمین‌آماری و مقایسه با شبکه موجود، بیست و هشتمین گردهمایی علوم زمین، دانشگاه ارومیه، ص ۱۴۷-۱۵۶.
- 3- واحد اکتشافی طبیع، (۱۳۶۹)، گزارش عملیات اکتشاف مقدماتی منطقه پروده III، جلد ۱، ۵۱۷ ص.
- 4-Dimitrakopoulos, R and Li, S. (2001); Quantification of fault uncertainty and risk management in underground long wall coal mining, in Proceedings Geological Hazards (eds: R Doule and J Moloney), 46, pp175-182.
- 5-Dimitrakopoulos, R, in press. Applied risk analysis for ore reserves and strategic mine planning: stochastic simulation and optimization,(Springer – SME:Dordrecht).350 p
- 6-Dimitrakopoulos, R and Luo, X. (2004); Generalized sequential Gaussian simulation on group size v and screen-effect approximations for large field simulations, Mathematical Geology, 36(5), pp 567-591.
- 7-Dimitrakopoulos, R, Scott, J and Li, S, (2005). Quantification of geological uncertainty and risk assessment in coal resource/reserve classification, ACARP Project C11042 Report, volume I, W H Bryan Mining Geology Research Centre, The University of Queensland, 250 p.
- 8-Dowd, P.A. (1993); Geostatistical simulation, course notes for the MSc. in Mineral Resource and environmental Geostatistics, University of Leeds, 123 p.
- 9-Hakan Basarir, Mustafa Kumral, Celal Karpuz, Levent Tutluoglu,, (2010); Geostatistical modeling of spatial variability of SPT data for a borax stockpile site, Engineering Geology. 114: pp 154–163.
- 10-Joint Ore Reserves Committee of The Australasian Institute of Mining and Metallurgy, Australian Institute of Geoscientists and Minerals Council of Australia (JORC) 2004; Australasian Code for Reporting of Exploration Results , Mineral Resources and